

УДК 532.592:532.517.2

## ЭВОЛЮЦИЯ ДЛИННЫХ НЕЛИНЕЙНЫХ ВОЛН НА ГРАНИЦЕ РАЗДЕЛА РАССЛОЕННОГО ТЕЧЕНИЯ ВЯЗКИХ ЖИДКОСТЕЙ В КАНАЛЕ

Д. Г. Архипов<sup>\*,\*\*</sup>, Г. А. Хабахпашев<sup>\*,\*\*</sup>

\* Институт теплофизики им. С. С. Кутателадзе СО РАН, 630090 Новосибирск

\*\* Новосибирский государственный университет, 630090 Новосибирск

E-mail: theory@itp.nsc.ru

Аналитически и численно исследована динамика возмущений границы раздела двух несжимаемых несмешивающихся слоев жидкостей различной плотности при наличии установившегося потока между горизонтальными дном и крышкой. Получено модельное интегродифференциальное уравнение, учитывающее длинноволновые вклады инерций слоев и поверхностного натяжения жидкостей, малую, но конечную амплитуду возмущений и нестационарное трение на всех границах. Приведены численные решения этого уравнения для наиболее характерных нелинейных задач трансформации как плоских волн различной длительности, так и уединенных в пространстве волн.

Ключевые слова: вязкие жидкости, граница раздела, двухслойное течение Пуазейля, длинные волны, нелинейные возмущения, уединенные волны.

**Введение.** Возмущения свободных поверхностей слоев неглубоких жидкостей, текущих со сдвигом продольной скорости, интересуют специалистов в течение уже полувека (см., например, [1]). В последние годы внимание к подобным исследованиям еще более возросло (см. [2, 3] и другие работы). В частности, в [4] на основе измерений, выполненных в натуральных условиях, рассмотрено влияние сдвиговых потоков на вертикальную структуру и кинематические параметры внутренних волн. В работе [5] выведено эволюционное уравнение для плоских нелинейных возмущений границы раздела двухслойного течения Пуазейля. В отличие от других моделей это уравнение учитывает нестационарное трение на всех границах системы. Установлено, что скорость и направление потока способны изменять не только длины волн, но и их полярность. В пренебрежении диссипативными потерями для возмущенного течения определены установившиеся решения типа кноидальных и уединенных волн.

Целью данной работы является получение модельного уравнения для трехмерных возмущений и анализ численных экспериментов по трансформации различных волн.

**Постановка задачи и упрощение исходных уравнений.** Пусть жидкости ограничены твердыми неподвижными крышкой (вертикальная координата  $z = h_1$ ) и дном ( $z = -h_2$ ), а невозмущенная граница раздела слоев соответствует координате  $z = 0$ . Тогда установившийся профиль горизонтальной скорости состоит из двух участков парабол:

$$\mathbf{u}_{0i} = \mathbf{u}_{0i}(1 - A_l z^2 - B_l z), \quad (1)$$

$$\mathbf{u}_{0i} = -\frac{\nabla p_0 h_1 h_2 H / 2}{\mu_1 h_2 + \mu_2 h_1}, \quad A_l = \frac{\mu_1 h_2 + \mu_2 h_1}{\mu_l h_1 h_2 H}, \quad B_l = \frac{\mu_1 h_2^2 - \mu_2 h_1^2}{\mu_l h_1 h_2 H}.$$

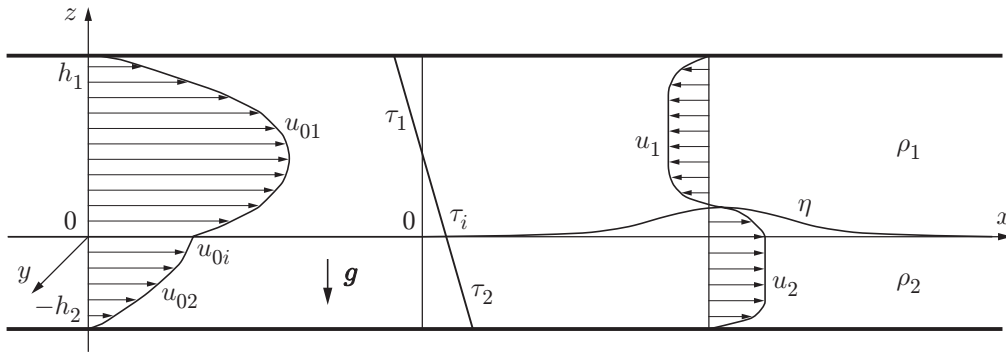


Рис. 1. Схема стационарного горизонтального течения, профиля трения и возмущенного движения, вызванного распространением длинной волны, в двухслойной системе

Здесь индекс 0 соответствует стационарным значениям величин; индекс  $l = 1, 2$  соответствует верхнему и нижнему слоям жидкости; индекс  $i$  — величинам на границе раздела; оператор градиента  $\nabla$  определен в горизонтальной плоскости  $(x, y)$ ;  $p$  — давление;  $H = h_1 + h_2$ ;  $\mu$  — динамическая вязкость.

Рассматриваемое двухжидкостное слоистое течение Пуазейля в плоском канале является решением стационарного уравнения движения  $\nabla p_0 = \mu_l d^2 \mathbf{u}_{0l} / dz^2$  с четырьмя краевыми условиями ( $\mathbf{u}_{0l} = 0$  при  $z = -(-1)^l h_l$ ,  $\mathbf{u}_{0l} = \mathbf{u}_{0i}$  и  $\boldsymbol{\tau}_l = \mu_l d\mathbf{u}_{0l} / dz = \boldsymbol{\tau}_{0i}$  при  $z = 0$ ). На рис. 1 показан профиль такого потока для системы вода — анилин ( $\mu_1 / \mu_2 = 0,225$ ) при  $h_1 / h_2 = 2$ .

Исходные уравнения Стокса и уравнения неразрывности для возмущенного движения несжимаемой жидкости в каждом слое можно записать в стандартной форме

$$\frac{\partial \mathbf{u}_l}{\partial t} + \mathbf{u}_{0l} \cdot \nabla \mathbf{u}_l + w_l \frac{d\mathbf{u}_{0l}}{dz} + \mathbf{u}_l \cdot \nabla \mathbf{u}_l + w_l \frac{\partial \mathbf{u}_l}{\partial z} + \frac{1}{\rho_l} \nabla p_l = \nu_l \left( \nabla^2 \mathbf{u}_l + \frac{\partial^2 \mathbf{u}_l}{\partial z^2} \right); \quad (2)$$

$$\frac{\partial w_l}{\partial t} + \mathbf{u}_{0l} \cdot \nabla w_l + \mathbf{u}_l \cdot \nabla w_l + w_l \frac{\partial w_l}{\partial z} + \frac{1}{\rho_l} \frac{\partial p_l}{\partial z} + g = \nu_l \left( \nabla^2 w_l + \frac{\partial^2 w_l}{\partial z^2} \right); \quad (3)$$

$$\nabla \cdot \mathbf{u}_l + \frac{\partial w_l}{\partial z} = 0. \quad (4)$$

Здесь  $\mathbf{u}$  — горизонтальная компонента вектора скорости жидкости;  $t$  — время;  $w$  — вертикальная составляющая скорости жидкости;  $\rho$  — плотность;  $\nu = \mu / \rho$  — кинематическая вязкость;  $g$  — ускорение свободного падения.

Сделаем следующие предположения: 1) характерный горизонтальный размер волны  $l_w$  существенно больше, а амплитуда возмущения  $\eta_a$  значительно меньше равновесных глубин слоев  $h_l$  ( $h_l / l_w \sim \varepsilon^{1/2}$ ,  $\eta_a / h_l \sim \varepsilon$ , где  $\varepsilon$  — малый параметр); 2) капиллярные эффекты невелики (модифицированное число Бонда  $\text{Bo} = (\rho_2 - \rho_1) g h_1 h_2 / \sigma > 1$ , где  $\sigma$  — поверхностное натяжение); 3) толщина пограничных слоев для возмущенной скорости остается малой, т. е. время распространения нестационарного пограничного слоя на толщину жидкости значительно больше характерного времени прохождения волны через какую-либо точку исследуемой области канала  $t_w$  (числа гидродинамической гомохронности  $\text{No}_{\nu l} = \nu_l t_w / h_l^2 \sim \varepsilon^2$ ). Эти допущения соответствуют условиям проведения экспериментов в различных гидродинамических лабораториях.

Нелинейные слагаемые в уравнениях (3) можно опустить как члены неучитываемого порядка малости ( $\mathbf{u}_l \cdot \nabla w_l \approx g \varepsilon^3$  и  $w_l^2 / \mathbf{u}_l^2 \approx \varepsilon$ ). Кроме того, в сделанных предположениях

можно пренебречь первыми слагаемыми в правых частях уравнений (2), а также правыми частями уравнений (3). В результате получаем упрощенную систему

$$\frac{\partial \mathbf{u}_l}{\partial t} + \mathbf{u}_{0l} \cdot \nabla \mathbf{u}_l + w_l \frac{d\mathbf{u}_{0l}}{dz} + \mathbf{u}_l \cdot \nabla \mathbf{u}_l + w_l \frac{\partial \mathbf{u}_l}{\partial z} + \frac{1}{\rho_l} \nabla p_l = \nu_l \frac{\partial^2 \mathbf{u}_l}{\partial z^2}; \quad (5)$$

$$\frac{\partial w_l}{\partial t} + \mathbf{u}_{0l} \cdot \nabla w_l + \frac{1}{\rho_l} \frac{\partial p_l}{\partial z} + g = 0. \quad (6)$$

Зададим краевые условия на крышке, поверхности раздела слоев и дне:

$$\begin{aligned} \mathbf{u}_l = w_l = 0, \quad z = -(-1)^l h_l, \\ \mathbf{u}_1 = \mathbf{u}_2 = \mathbf{u}_i, \quad \mu_1 \frac{\partial \mathbf{u}_1}{\partial z} = \mu_2 \frac{\partial \mathbf{u}_2}{\partial z} = \boldsymbol{\tau}_i, \quad w_1 = w_2 = w_i = \frac{\partial \eta}{\partial t} + (\mathbf{u}_{0i} + \mathbf{u}_i) \cdot \nabla \eta, \\ p_{1i} = p_{2i} + \sigma \nabla^2 \eta, \quad z = \eta(t, x, y). \end{aligned}$$

Интегрируя уравнения (6) по  $z$  от  $z$  до  $\eta$  и используя динамическое краевое условие на границе раздела, находим профили давлений в каждом слое жидкости:

$$\frac{p_l}{\rho_l} = \frac{p_{li}}{\rho_l} + g(\eta - z) + \int_z^\eta \left( \frac{\partial w_l}{\partial t} + \mathbf{u}_{0l} \cdot \nabla w_l \right) dz. \quad (7)$$

Выражения (7) можно подставить в уравнения движения (5), (6), но сначала целесообразно взять интегралы, входящие в зависимости (7). В работе [5] показано, что в широком интервале отношений глубин и для небольших значений стационарного гидравлического напора профили вертикальных компонент скоростей жидкостей можно принять достаточно простыми, т. е. линейными по координате  $z$  в каждом слое:

$$w_l = \frac{h_l + (-1)^l z}{h_l + (-1)^l \eta} \left( \frac{\partial \eta}{\partial t} + (\mathbf{u}_{0i} + \mathbf{u}_i) \cdot \nabla \eta \right). \quad (8)$$

Для членов второго порядка малости можно принять еще более простые выражения

$$w_l = \left( 1 + (-1)^l \frac{z}{h_l} \right) \left( \frac{\partial \eta}{\partial t} + \mathbf{u}_{0i} \cdot \nabla \eta \right) = \left( 1 + (-1)^l \frac{z}{h_l} \right) \frac{D\eta}{D_0 t}. \quad (9)$$

В частности, соотношения (9) можно подставить не только в интегральные слагаемые уравнений (7), учитывающие инерцию каждого слоя жидкости, но и в нелинейные члены  $w_l \partial \mathbf{u}_l / \partial z$  уравнений движения (5).

**Зависимости давлений и скоростей жидкостей от возмущения границы раздела.** Подставив формулы для скоростей (1), а также нормальные составляющие скоростей (9) в выражения (7), определим вертикальные профили давлений:

$$\begin{aligned} \frac{p_l}{\rho_l} = \frac{p_{li}}{\rho_l} + g(\eta - z) + \int_z^\eta \left( 1 + (-1)^l \frac{z}{h_l} \right) (1 - A_l z^2 - B_l z) \mathbf{u}_{0i} \cdot \nabla \frac{D\eta}{D_0 t} dz + \\ + \int_z^\eta \left( 1 + (-1)^l \frac{z}{h_l} \right) \frac{\partial}{\partial t} \frac{D\eta}{D_0 t} dz = \frac{p_{li}}{\rho_l} + g(\eta - z) - \left( z + \frac{z^2}{2} \frac{(-1)^l}{h_l} \right) \frac{\partial}{\partial t} \frac{D\eta}{D_0 t} - \\ - \left[ z + \frac{z^2}{2} \left( \frac{(-1)^l}{h_l} - B_l \right) - \frac{z^3}{3} \left( A_l + B_l \frac{(-1)^l}{h_l} \right) - \frac{z^4}{4} A_l \frac{(-1)^l}{h_l} \right] \mathbf{u}_{0i} \cdot \nabla \frac{D\eta}{D_0 t}. \quad (10) \end{aligned}$$

Затем, применяя скалярно оператор  $\nabla$  к уравнению (5) и с помощью уравнения неразрывности (4) заменяя  $\nabla \cdot \mathbf{u}_l$  на  $-\partial w_l / \partial z$  в первых трех членах (5), получаем

$$-\frac{\partial^2 w_l}{\partial t \partial z} - \mathbf{u}_{0l} \cdot \nabla \frac{\partial w_l}{\partial z} + \nabla w_l \cdot \frac{d\mathbf{u}_{0l}}{dz} + \nabla \cdot \left( \mathbf{u}_l \cdot \nabla \mathbf{u}_l + w_l \frac{\partial \mathbf{u}_l}{\partial z} \right) + \frac{1}{\rho_l} \nabla^2 p_l = \nu_l \frac{\partial^2}{\partial z^2} (\nabla \cdot \mathbf{u}_l). \quad (11)$$

Подставляя профили скоростей (1) и (8) во вторые, третьи и четвертые члены уравнений (11), зависимости (10) — в пятые, проинтегрируем уравнения (11) по координате  $z$  от  $-h_2$  до  $\eta$  при  $l = 2$  и от  $\eta$  до  $h_1$  при  $l = 1$ . В результате получаем

$$\begin{aligned} & \frac{\partial w_i}{\partial t} + \frac{\partial \eta}{\partial t} \nabla \cdot \mathbf{u}_i + \frac{A_l}{3} h_l^2 \mathbf{u}_{0i} \cdot \nabla \left[ w_i \left( 1 + (-1)^l \frac{2\eta}{h_l} \right) \right] + \left( \nabla \cdot \mathbf{u}_i - B_l \frac{D\eta}{D_0 t} \right) \mathbf{u}_{0i} \cdot \nabla \eta - \\ & - [(-1)^l h_l + \eta] \left( \frac{1}{\rho_l} \nabla^2 p_{li} + g \nabla^2 \eta \right) - \frac{h_l^2}{3} \left[ \frac{\partial}{\partial t} + \frac{3}{4} \left( 1 + A_l \frac{h_l^2}{5} \right) \mathbf{u}_{0i} \cdot \nabla \right] \frac{D}{D_0 t} \nabla^2 \eta - \\ & - \int_{(-1)^l h_l}^{\eta} \nabla \cdot \left( (\mathbf{u}_l \cdot \nabla) \mathbf{u}_l + w_l \frac{\partial \mathbf{u}_l}{\partial z} \right) dz = \frac{1}{\rho_l} (\nabla \cdot \boldsymbol{\tau}_{lz} - \nabla \cdot \boldsymbol{\tau}_{iz}) + \nu_l \nabla \eta \cdot \frac{\partial^2 \mathbf{u}_l}{\partial z^2} \Big|_{z=0}. \quad (12) \end{aligned}$$

Здесь напряжения  $\boldsymbol{\tau}_{lz} = \nu_l \rho_l \partial \mathbf{u}_l / \partial z$  при  $z = (-1)^l h_l$ ; поправки третьего порядка малости опущены. Для вычисления оставшихся интегралов, содержащих лишь члены второго порядка малости, достаточно определить линейную связь горизонтальных составляющих скоростей жидкостей с возмущением границы раздела. Рассмотрим краевые условия и уравнения (12) в первом приближении, т. е. без учета не только нелинейных, инерционных и капиллярных членов, но и нестационарных трений:

$$\left( \frac{\partial}{\partial t} + A_l \frac{h_l^2}{3} \mathbf{u}_{0i} \cdot \nabla \right) \frac{D\eta}{D_0 t} - (-1)^l h_l \left( \frac{1}{\rho_l} \nabla^2 p_i + g \nabla^2 \eta \right) = 0. \quad (13)$$

Из условия тождественности этих уравнений, описывающих один и тот же волновой процесс, определим лапласиан давления на границе раздела:

$$\nabla^2 p_{li} = -\rho_1 \rho_2 \left( \frac{gH}{\chi} \nabla^2 \eta + R_f \mathbf{u}_{0i} \cdot \nabla \frac{D\eta}{D_0 t} \right). \quad (14)$$

Здесь  $\chi = \rho_1 h_2 + \rho_2 h_1$ ;  $R_f = (\nu_1 \rho_1 h_2 + \nu_2 \rho_2 h_1)(\nu_2 \rho_2 h_1^2 - \nu_1 \rho_1 h_2^2) / (3\nu_1 \nu_2 \rho_1 \rho_2 h_1 h_2 \chi H)$ . Если основные возмущения распространяются лишь в определенном направлении (вектор фазовой скорости линейных волн  $\mathbf{c}$  почти параллелен вектору  $\nabla \eta$ ), то можно заменить операторы

$$\nabla \eta = -\frac{\mathbf{c}}{c^2} \frac{\partial \eta}{\partial t}, \quad \nabla^2 = \frac{1}{c^2} \frac{\partial^2}{\partial t^2}.$$

Тогда формулу (14) можно записать в виде зависимости

$$\frac{\partial^2 p_{li}}{\partial t^2} = -\rho_1 \rho_2 \left[ \frac{gH}{\chi} - R_f \mathbf{u}_{0i} \cdot \mathbf{c} \left( 1 - \frac{\mathbf{u}_{0i} \cdot \mathbf{c}}{c^2} \right) \right] \frac{\partial^2 \eta}{\partial t^2}.$$

Проинтегрировав данное уравнение один раз по времени, получим

$$\frac{\partial p_{li}}{\partial t} = -\rho_1 \rho_2 \left( \frac{gH}{\chi} - R_f u_{0c}^2 \right) \frac{\partial \eta}{\partial t}, \quad u_{0c}^2 = \mathbf{u}_{0i} \cdot \mathbf{c} \left( 1 - \frac{\mathbf{u}_{0i} \cdot \mathbf{c}}{c^2} \right).$$

Здесь постоянная интегрирования полагается равной нулю, так как согласно сделанному ранее предположению при отсутствии возмущений  $\partial p_i / \partial t = 0$ . В результате имеем

$$\nabla p_{li} = -\rho_1 \rho_2 \left( \frac{gH}{\chi} - R_f u_{0c}^2 \right) \nabla \eta. \quad (15)$$

Проинтегрируем линеаризованные и бездиссипативные горизонтальные составляющие уравнений движения (5) по вертикальной координате  $z$  от  $-h_2$  до  $\eta$  при  $l = 2$  и от  $\eta$  до  $h_1$  при  $l = 1$ . Во вторые и третьи члены этих уравнений подставим профили скоростей (1), в третьи слагаемые — профили скоростей (9), а гидростатические связи  $p_l = p_{li} + \rho_l g(\eta - z)$  и выражения (15) — в последние члены данных уравнений. В результате получаем уравнения движения в горизонтальной плоскости

$$\left[ 1 - \frac{S_c}{2} \left( 1 + \frac{A_l}{3} h_l^2 \right) \right] \frac{\partial \mathbf{u}_l}{\partial t} + \left[ \frac{\mathbf{c}}{c^2} g_l + (-1)^l \frac{\mathbf{u}_{0i}}{2h_l} \frac{c_f^2}{c^2} \left( 1 - \frac{A_l}{3} h_l^2 \right) \right] \frac{\partial \eta}{\partial t} = 0, \quad (16)$$

где  $g_l = \rho_1 \rho_2 (gH/\chi - R_f u_{0c}^2) / \rho_l - g$ ;  $S_c = \mathbf{u}_{0i} \cdot \mathbf{c} / c^2$ ;  $c_f^2 = c^2(1 - S_c)$ . Отметим, что в рассматриваемом приближении  $\mathbf{u}_l$  не зависит от вертикальной координаты. Проинтегрировав уравнения (16) по времени, определяем связи горизонтальных скоростей жидкостей с возмущением границы раздела:

$$\mathbf{u}_l = - \frac{c g_l h_l + (-1)^l \mathbf{u}_{0i} c_f^2 (1 - A_l h_l^2 / 3) / 2}{h_l c^2 [1 - S_c (1 + A_l h_l^2 / 3) / 2]} \eta = \frac{c_l}{h_l} \eta. \quad (17)$$

Поскольку в сделанных предположениях при отсутствии возмущений  $\mathbf{u}_l = 0$ , постоянная интегрирования вновь положена равной нулю.

**Нахождение фазовой скорости и трения на границах.** Для определения зависимости фазовой скорости  $\mathbf{c}$  от величины и направления установившегося потока подставим  $\nabla^2 p_{li}$  из (14) в систему уравнений (13). Получаем уравнение для возмущения границы раздела, решение которого будем искать в виде линейной моногармонической волны, распространяющейся под углом  $\varphi$  к направлению вектора стационарного течения  $\mathbf{u}_{0i}$ . В итоге для модуля фазовой скорости имеем формулу

$$c = \left| |\mathbf{u}_{0i}| \cos \varphi (1 + S_f) / 2 \pm \sqrt{c_0^2 + \mathbf{u}_{0i}^2 [\cos \varphi (1 - S_f) / 2]^2} \right|,$$

где  $S_f = (\nu_1 h_2 + \nu_2 h_1)(\nu_1 \rho_1 h_2 + \nu_2 \rho_2 h_1) / (3\nu_1 \nu_2 \chi H)$ ;  $c_0^2 = gh_1 h_2 (\rho_2 - \rho_1) / \chi$ . Как и предполагалось, спутное течение увеличивает фазовую скорость возмущений, а противоток уменьшает ее.

Для нахождения напряжений трения  $\boldsymbol{\tau}_{lz}$  вблизи всех границ используем уравнения движения (5) без учета нелинейных и инерционных членов:

$$\frac{\partial \mathbf{u}_l}{\partial t} + \mathbf{u}_{0l} \cdot \nabla \mathbf{u}_l + w_l \frac{d\mathbf{u}_{0l}}{dz} + g \nabla \eta + \frac{1}{\rho_l} \nabla p_{li} = \nu_l \frac{\partial^2 \mathbf{u}_l}{\partial z^2}. \quad (18)$$

Используя формулы (1) для  $\mathbf{u}_{0l}$ , формулы (9) для  $w_l$ , соотношения (15) для  $\nabla p_{li}$  и заменяя  $\mathbf{u}_{0l} \cdot \nabla \mathbf{u}_l$  на  $-(\mathbf{u}_{0l} \cdot \mathbf{c} / c^2)(\partial \mathbf{u}_l / \partial t)$ , уравнения движения (18) запишем в виде

$$\left( 1 - \frac{\mathbf{u}_{0i} \cdot \mathbf{c}}{c^2} (1 - A_l z^2 - B_l z) \right) \frac{\partial \mathbf{u}_l}{\partial t} - \mathbf{u}_{0i} (2A_l z + B_l) \left( 1 + (-1)^l \frac{z}{h_l} \right) \frac{D\eta}{D_0 t} + \left( (-1)^l \frac{c_0^2}{h_l} + \rho_1 \rho_2 \frac{R_f}{\rho_l} u_{0c}^2 \right) \nabla \eta = \nu_l \frac{\partial^2 \mathbf{u}_l}{\partial z^2}. \quad (19)$$

Заменяя в этих уравнениях  $\partial\eta/\partial t$  на  $-\mathbf{c} \cdot \nabla\eta$  и разделив все члены на  $\nu_l$ , получаем

$$\begin{aligned} \frac{\partial^2 \mathbf{u}_l}{\partial z^2} - \frac{1}{\nu_l} \left( 1 - \frac{\mathbf{u}_{0i} \cdot \mathbf{c}}{c^2} (1 - A_l z^2 - B_l z) \right) \frac{\partial \mathbf{u}_l}{\partial t} = \\ = -\frac{g_l}{\nu_l} \nabla\eta + \frac{\mathbf{u}_{0i}}{\nu_l} (2A_l z + B_l) \left( 1 + (-1)^l \frac{z}{h_l} \right) [(\mathbf{c} - \mathbf{u}_{0i}) \cdot \nabla\eta]. \end{aligned} \quad (20)$$

Решения уравнений (20) будем искать методом разделения переменных:

$$\mathbf{u}_l(t, x, y, z) = \mathbf{u}'_l(t, z) f_l(x, y).$$

Сначала рассмотрим пограничные слои вблизи крышки и дна. В этом случае  $z \approx -(-1)^l h_l$ , и правые части уравнений (20) значительно упрощаются (перестают зависеть от  $z$ ). Следовательно, применив к уравнениям (20) преобразование Лапласа по времени, получим

$$\frac{\partial^2 \mathbf{V}_l(s, z)}{\partial z^2} - \frac{s}{\nu_l} \mathbf{V}_l(s, z) = \frac{\mathbf{G}_{\nabla l}(s, x, y)}{\nu_l f_l(x, y)} - \frac{\mathbf{u}'_{l0}}{\nu_l} \equiv \mathbf{P}_{\nabla l}(s). \quad (21)$$

Здесь  $\mathbf{V}_l(s, z)$ ,  $\mathbf{G}_{\nabla l}(s, x, y)/\nu_l$  — изображения  $\mathbf{u}'_l(t, z)$  и правых частей уравнений (20) при  $z = -(-1)^l h_l$ . Правые части уравнений (21) являются функциями только переменной  $s$ , так как их левые части не зависят от координат  $x, y$ , а скорости жидкостей в каждом из слоев не зависят от вертикальной координаты  $z$  в начальный момент времени  $t = 0$ . Допущение о малой толщине пограничных слоев, не ухудшая точности, позволяет поставить условие отсутствия касательных напряжений на больших расстояниях от рассматриваемых поверхностей: при  $z = -\infty$  для крышки, при  $z = +\infty$  для дна, при  $z = -\infty, z = +\infty$  для поверхности раздела (пограничные слои практически “бесконечно” глубоко утоплены в жидкости).

Выполнив замену  $\mathbf{V}'_l = \mathbf{V}_l + \mathbf{P}_{\nabla l} \nu_l / s$ , уравнения (21) запишем в виде линейных однородных уравнений. Тогда решения, удовлетворяющие краевым условиям  $\mathbf{V}_l = 0$  при  $z = -(-1)^l h_l$  и  $\partial \mathbf{V}_l / \partial z = 0$  при  $z = (-1)^l \infty$ , легко определяются:

$$\mathbf{V}_l(s, z) = \mathbf{P}_{\nabla l}(s) \frac{\nu_l}{s} \left[ \exp \left( -\sqrt{\frac{s}{\nu_l}} [(-1)^l z + h_l] \right) - 1 \right].$$

Отсюда находим значения производных у крышки и дна:

$$\left. \frac{\partial \mathbf{V}_l}{\partial z} \right|_{z=-(-1)^l h_l} = -(-1)^l \mathbf{P}_{\nabla l}(s) \sqrt{\frac{\nu_l}{s}}.$$

Применив к данным формулам обратное преобразование Лапласа, для вязких трений о крышку и дно в пространстве оригиналов получаем выражения типа свертки:

$$\tau_{lz} = \nu_l \rho_l \left. \frac{\partial \mathbf{u}_l}{\partial z} \right|_{z=-(-1)^l h_l} = (-1)^l \sqrt{\nu_l} \rho_l \left( \frac{g_l}{\sqrt{\pi}} \int_0^t \frac{\nabla\eta dt'}{\sqrt{t-t'}} + \frac{1}{\sqrt{\pi t}} \mathbf{u}_{l0}(x, y) \right). \quad (22)$$

Заметим, что в уравнениях (22)  $t > 0$ , а члены, содержащие переменные  $\mathbf{u}_{l0}(x, y)$  и  $\eta_0(x, y)$ , оказывают влияние лишь в области, возмущенной в начальный момент времени. Для остального пространства влияние этих членов незначительно.

Рассмотрим пограничные слои вблизи границы раздела ( $z \approx 0$  в правых частях уравнений (19), которые также перестают зависеть от координаты  $z$ ). Кроме того, заменяя  $\nabla\eta$  на  $-(\mathbf{c}/c^2) \partial\eta/\partial t$ , получаем уравнения горизонтального движения

$$\frac{\partial^2 \mathbf{u}_l}{\partial z^2} - \frac{1}{\nu_l} \frac{c_f^2}{c^2} \frac{\partial \mathbf{u}_l}{\partial t} = \left( \frac{\mathbf{c}}{c^2} \frac{g_l}{\nu_l} - \mathbf{u}_{0i} \frac{B_l}{\nu_l} \frac{c_f^2}{c^2} \right) \frac{\partial \eta}{\partial t}.$$

Используя преобразование Лапласа по времени, запишем эти уравнения в виде

$$\frac{\partial^2 \mathbf{V}_l}{\partial z^2} - \mathbf{V}_l \frac{s}{\nu_l} \frac{c_f^2}{c^2} = \frac{\mathbf{G}_{tl}}{\nu_l f_l} - \frac{\mathbf{u}_{l0}}{\nu_l} \frac{c_f^2}{c^2} \equiv \mathbf{P}_{tl}(s). \quad (23)$$

Из совместного решения уравнений (23) с краевыми условиями  $\partial \mathbf{V}_l / \partial z = 0$  при  $z = -(-1)^l \infty$  (так как эти пограничные слои также практически “бесконечно” глубоко утоплены в слоях жидкости),  $\mathbf{V}_1 = \mathbf{V}_2$  и  $\nu_1 \rho_1 \partial \mathbf{V}_1 / \partial z = \nu_2 \rho_2 \partial \mathbf{V}_2 / \partial z$  при  $z = 0$  (непрерывность скоростей и касательных напряжений) находим профили для изображений:

$$\mathbf{V}_l(s, z) = \frac{(-1)^l}{s_c} \frac{\psi}{\psi_l} [\nu_2 \mathbf{P}_{t2}(s) - \nu_1 \mathbf{P}_{t1}(s)] \exp\left((-1)^l \sqrt{\frac{s_c}{\nu_l}} z\right) - \frac{\nu_l}{s_c} \mathbf{P}_{tl}(s).$$

Здесь  $s_c = s c_f^2 / c^2$ ;  $\psi_l = \sqrt{\nu_l \rho_l}$ ;  $\psi = \psi_1 \psi_2 / (\psi_1 + \psi_2)$ . Вновь используя обратное преобразование Лапласа, а также замену для оператора градиента и простые равенства

$$\int_0^t \nabla \eta(t', x, y) dt' = -\frac{\mathbf{c}}{c^2} \int_0^t \frac{\partial \eta(t', x, y)}{\partial t'} dt' = \frac{\mathbf{c}}{c^2} [\eta_0(x, y) - \eta(t, x, y)],$$

из этих формул получаем выражения для горизонтальной составляющей скорости частиц жидкостей и вязкого трения на границе раздела слоев:

$$\mathbf{u}_i = [\eta(t, x, y) - \eta_0(x, y)] \mathbf{f}_s + \frac{\psi_1 \mathbf{u}_{1,0}(x, y) + \psi_2 \mathbf{u}_{2,0}(x, y)}{\psi_1 + \psi_2}, \quad (24)$$

$$\mathbf{f}_s = \mathbf{u}_{0i} \frac{\psi_1 B_1 + \psi_2 B_2}{\psi_1 + \psi_2} + \mathbf{c} \left( \frac{c_0^2}{c_f^2} \frac{\psi_2 h_1 - \psi_1 h_2}{h_1 h_2 (\psi_1 + \psi_2)} + \mathbf{u}_{0i} \cdot \mathbf{c} \frac{R_f \rho_1 \psi_2 + \rho_2 \psi_1}{c^2 (\psi_1 + \psi_2)} \right);$$

$$\begin{aligned} \tau_{iz} = \nu_l \rho_l \left. \frac{\partial \mathbf{u}_l}{\partial z} \right|_{z=0} &= \frac{\psi}{\sqrt{\pi t}} \frac{c_f}{c} [\mathbf{u}_{1,0}(x, y) - \mathbf{u}_{2,0}(x, y)] + \\ &+ \frac{\psi}{\sqrt{\pi}} \frac{c_f}{c} \left[ \mathbf{u}_{0i} (B_1 - B_2) - \mathbf{c} \left( \frac{c_0^2 H}{c_f^2 h_1 h_2} - (\rho_2 - \rho_1) \mathbf{u}_{0i} \cdot \mathbf{c} \frac{R_f}{c^2} \right) \right] \int_0^t \frac{\partial \eta(t', x, y)}{\partial t'} \frac{dt'}{\sqrt{t - t'}}. \end{aligned} \quad (25)$$

Отметим, что в уравнениях (24), (25)  $t > 0$ , а члены, содержащие переменные  $\mathbf{u}_{l,0}$  и  $\eta_0$ , оказывают влияние лишь в области, возмущенной в начальный момент времени.

Наконец, из уравнений (18) при  $z = 0$  находим выражения для значений вторых производных нестационарных скоростей жидкостей по вертикальной координате вблизи границы раздела слоев, входящих в правые части уравнений (12):

$$\nu_l \left. \frac{\partial^2 \mathbf{u}_l}{\partial z^2} \right|_{z=0} = \frac{\partial \mathbf{u}_i}{\partial t} + \mathbf{u}_{0i} \cdot \nabla \mathbf{u}_i - \mathbf{u}_{0i} B_l \frac{D\eta}{D_0 t} - g_l \nabla \eta. \quad (26)$$

Таким образом, имеем все необходимые соотношения для вывода уравнения на возмущение  $\eta(t, x, y)$ .

**Эволюционное уравнение для волн на границе раздела.** Подставив зависимости (15), (17), (26) в члены второго порядка малости уравнений (12), получаем

$$\frac{\partial^2 \eta}{\partial t^2} + \mathbf{u}_{0i} \cdot \nabla \frac{\partial \eta}{\partial t} - \mathbf{u}_{0i} \cdot \nabla (\mathbf{u}_i \cdot \nabla \eta) + \frac{A_l}{3} h_l^2 \mathbf{u}_{0i} \cdot \nabla \left[ \left( 1 + (-1)^l \frac{2\eta}{h_l} \right) \frac{D\eta}{D_0 t} + \mathbf{u}_i \cdot \nabla \eta \right] -$$

$$\begin{aligned}
& -\frac{1}{2h_l} \left( (-1)^l (\mathbf{c}_l \cdot \nabla)^2 \eta^2 - \mathbf{c}_l \cdot \nabla \frac{D\eta^2}{D_0t} \right) - (-1)^l \frac{h_l}{\rho_l} \nabla^2 p_{li} - (-1)^l g h_l \nabla^2 \eta + \frac{g_l}{2} \nabla^2 \eta^2 - \\
& - \frac{h_l^2}{3} \left[ \frac{\partial}{\partial t} + \frac{3}{4} \left( 1 + A_l \frac{h_l^2}{5} \right) \mathbf{u}_{0i} \cdot \nabla \right] \frac{D}{D_0t} \nabla^2 \eta = \frac{1}{\rho_l} \nabla \cdot (\boldsymbol{\tau}_{lz} - \boldsymbol{\tau}_{iz}). \quad (27)
\end{aligned}$$

В (27) сгруппирован ряд членов и использовано интегрирование по частям:

$$\int_{-(-1)^l h_l}^0 w_l \frac{\partial \mathbf{u}_l}{\partial z} dz = \mathbf{u}_i \frac{D\eta}{D_0t} - \int_{-(-1)^l h_l}^0 \mathbf{u}_l \frac{\partial w_l}{\partial z} dz = \mathbf{u}_i \frac{D\eta}{D_0t} - \frac{\mathbf{c}_l}{2h_l} \frac{D\eta^2}{D_0t}.$$

Для того чтобы свести систему (27) к одному уравнению (исключив давление на границе раздела из оставшихся линейных членов), умножим (27) на  $h_2/\rho_2$  при  $l = 1$  и на  $h_1/\rho_1$  при  $l = 2$ , а затем сложим получившиеся выражения. В результате имеем

$$\begin{aligned}
& \frac{\partial^2 \eta}{\partial t^2} - c_0^2 \nabla^2 \eta + (1 + S_f) \mathbf{u}_{0i} \cdot \nabla \frac{\partial \eta}{\partial t} + S_f (\mathbf{u}_{0i} \cdot \nabla)^2 \eta - (1 - S_f) \mathbf{u}_{0i} \cdot \nabla (\mathbf{u}_i \cdot \nabla \eta) - \\
& - \left[ H_\rho^2 \left( \frac{1}{3} \frac{\partial^2}{\partial t^2} + \frac{7}{12} \mathbf{u}_{0i} \cdot \nabla \frac{\partial}{\partial t} + \frac{1}{4} (\mathbf{u}_{0i} \cdot \nabla)^2 \right) + S_A \mathbf{u}_{0i} \cdot \nabla \frac{D}{D_0t} - \sigma \frac{h_1 h_2}{\chi} \nabla^2 \right] \nabla^2 \eta + \\
& + \frac{\rho_1 h_2}{2h_1 \chi} \left( \frac{D}{D_0t} + \mathbf{c}_1 \cdot \nabla \right) \mathbf{c}_1 \cdot \nabla \eta^2 + \frac{\rho_2 h_1}{2h_2 \chi} \left( \frac{D}{D_0t} - \mathbf{c}_2 \cdot \nabla \right) \mathbf{c}_2 \cdot \nabla \eta^2 - \\
& - C_{N\Delta} \nabla^2 \eta^2 - R_\nu \mathbf{u}_{0i} \cdot \nabla \frac{D\eta^2}{D_0t} = \frac{1}{\chi} \nabla \cdot (h_1 \boldsymbol{\tau}_{2z} + h_2 \boldsymbol{\tau}_{1z} - H \boldsymbol{\tau}_{iz}), \quad (28)
\end{aligned}$$

где  $S_A = h_1 h_2 (\rho_1 h_1^3 A_1 + \rho_2 h_2^3 A_2) / (20\chi)$ ;  $C_{N\Delta} = [c_0^2 (\rho_2 h_1 / h_2 - \rho_1 h_2 / h_1) + u_{0c}^2 \rho_1 \rho_2 R_f H] / (2\chi)$ ;  $R_\nu = (\nu_2 - \nu_1) (\nu_1 \rho_1 h_2 + \nu_2 \rho_2 h_1) / (3\nu_1 \nu_2 \chi H)$ ;  $H_\rho^2 = h_1 h_2 (\rho_1 h_1 + \rho_2 h_2) / \chi$ .

С учетом сделанных допущений о длинноволновом характере возмущений малой амплитуды и о том, что эти возмущения распространяются только в одном направлении, в членах второго порядка малости можно провести следующие замены:  $\partial \eta / \partial t$  на  $-\mathbf{c} \cdot \nabla \eta$  в нелинейных членах,  $\nabla$  на  $-(\mathbf{c}/c^2) \partial / \partial t$  в дисперсионных членах,  $\nabla^2$  на  $(1/c^2) \partial^2 / \partial t^2$  в инерционных и капиллярном членах. Тогда уравнение (28) можно записать в виде

$$\begin{aligned}
& \frac{\partial^2 \eta}{\partial t^2} - c_0^2 \nabla^2 \eta + (1 + S_f) \mathbf{u}_{0i} \cdot \nabla \frac{\partial \eta}{\partial t} + S_f (\mathbf{u}_{0i} \cdot \nabla)^2 \eta - (1 - S_f) \mathbf{u}_{0i} \cdot \nabla (\mathbf{u}_i \cdot \nabla \eta) - \\
& - C_d \frac{\partial^2}{\partial t^2} \nabla^2 \eta + \frac{\rho_1 h_2}{2h_1 \chi} (\mathbf{u}_{0i} - \mathbf{c} + \mathbf{c}_1) \cdot \nabla (\mathbf{c}_1 \cdot \nabla \eta^2) + \frac{\rho_2 h_1}{2h_2 \chi} (\mathbf{u}_{0i} - \mathbf{c} - \mathbf{c}_2) \cdot \nabla (\mathbf{c}_2 \cdot \nabla \eta^2) - \\
& - C_{N\Delta} \nabla^2 \eta^2 - R_\nu \mathbf{u}_{0i} \cdot \nabla [(\mathbf{u}_{0i} - \mathbf{c}) \cdot \nabla \eta^2] = \frac{1}{\chi} \nabla \cdot (h_1 \boldsymbol{\tau}_{2z} + h_2 \boldsymbol{\tau}_{1z} - H \boldsymbol{\tau}_{iz}), \quad (29)
\end{aligned}$$

где  $C_d = H_\rho^2 (1/3 - 7S_c/12 + S_c^2/4) + S_A (S_c^2 - S_c) - \sigma h_1 h_2 / (c^2 \chi)$ . Подставив выражения для трения на всех границах системы (22), (25) и выражения для скоростей вблизи поверхности раздела (24) в уравнение (29), имеем в нем лишь три неизвестные величины:  $\eta$ ,  $\mathbf{u}_{i0}$  (начальное возмущение  $\eta_0(x, y)$  считается известным), причем  $\mathbf{u}_{i0}$  содержатся лишь в членах второго порядка малости. Следовательно, в уравнении (29)  $\mathbf{u}_{i0}$  можно заменить на  $\mathbf{c}_l \eta_0 / h_l$ . В результате получаем основное эволюционное уравнение для возмущения

$$\begin{aligned}
& \frac{\partial^2 \eta}{\partial t^2} + (1 + S_f) \mathbf{u}_{0i} \cdot \nabla \frac{\partial \eta}{\partial t} - c_0^2 \nabla^2 \eta + S_f (\mathbf{u}_{0i} \cdot \nabla)^2 \eta - C_d \frac{\partial^2}{\partial t^2} \nabla^2 \eta - C_{Nxx} \frac{\partial^2 \eta^2}{\partial x^2} - \\
& - C_{Nxy} \frac{\partial^2 \eta^2}{\partial x \partial y} - C_{Nyy} \frac{\partial^2 \eta^2}{\partial y^2} + \int_0^t \left( C_{Bxx} \frac{\partial^2 \eta}{\partial x^2} + C_{Bxy} \frac{\partial^2 \eta}{\partial x \partial y} + C_{Byy} \frac{\partial^2 \eta}{\partial y^2} \right) \frac{dt'}{\sqrt{t-t'}} = \\
& = (\mathbf{f}_{N0} \cdot \nabla) (\eta_0 \mathbf{u}_{0i} \cdot \nabla \eta) + \frac{1}{\sqrt{\pi t}} \mathbf{f}_{L0} \cdot \nabla \eta_0. \quad (30)
\end{aligned}$$

В этом уравнении коэффициенты определяются только геометрическими  $(h_1, h_2, \varphi)$  и физическими  $(g, \rho_1, \rho_2, \nu_1, \nu_2, \mathbf{u}_{0i}, \sigma)$  параметрами рассматриваемой задачи:

$$\begin{aligned}
C_{Nxx} &= C_{N\Delta} - R_\nu u_{0i} (c_x - u_{0i}) + \frac{R_S}{2} u_{0i} f_{sx} + \frac{k_{2x} d_{2x} - k_{1x} d_{1x}}{2h_1 h_2 \chi}, \\
C_{Nxy} &= \frac{R_S}{2} (u_{0i} f_{sy} + v_{0i} f_{sx}) - R_\nu [u_{0i} (c_y - v_{0i}) + v_{0i} (c_x - u_{0i})] + \\
& + \frac{k_{2x} d_{2y} + k_{2y} d_{2x} - k_{1x} d_{1y} - k_{1y} d_{1x}}{2h_1 h_2 \chi}, \quad R_S = 1 - S_f, \\
C_{Nyy} &= C_{N\Delta} - R_\nu v_{0i} (c_y - v_{0i}) + \frac{R_S}{2} v_{0i} f_{sy} + \frac{k_{2y} d_{2y} - k_{1y} d_{1y}}{2h_1 h_2 \chi}, \\
\mathbf{k}_1 &= \mathbf{c}_1 \rho_1 h_2^2, \quad \mathbf{k}_2 = \mathbf{c}_2 \rho_2 h_1^2, \quad \mathbf{d}_1 = \mathbf{c}_1 - \mathbf{c} + \mathbf{u}_{0i}, \quad \mathbf{d}_2 = \mathbf{c}_2 + \mathbf{c} - \mathbf{u}_{0i}, \\
C_{Bxx} &= C_{B\Delta} + \frac{\psi_H}{\sqrt{\pi \chi}} c_x f_{Bx}, \quad C_{B\Delta} = \frac{\psi_1 g_1 h_2 - \psi_2 g_2 h_1}{\sqrt{\pi \chi}}, \quad \psi_H = \psi H \frac{c_f}{c}, \\
C_{Bxy} &= \frac{\psi_H}{\sqrt{\pi \chi}} (c_x f_{By} + c_y f_{Bx}), \quad C_{Byy} = C_{B\Delta} + \frac{\psi_H}{\sqrt{\pi \chi}} c_y f_{By}, \\
\mathbf{f}_B &= \frac{\mathbf{c} c_0^2 H}{c_f^2 h_1 h_2} + \mathbf{u}_{0i} (B_2 - B_1) - R_f (\rho_2 - \rho_1) \frac{\mathbf{c}}{c^2} \mathbf{u}_{0i} \cdot \mathbf{c}, \\
\mathbf{f}_{L0} &= \frac{\psi_H (\mathbf{c}_2 h_1 - \mathbf{c}_1 h_2) - \psi_1 \mathbf{c}_1 h_2^2 + \psi_2 \mathbf{c}_2 h_1^2}{h_1 h_2 \chi}, \quad \mathbf{f}_{N0} = R_S \left( \frac{\psi_1 \mathbf{c}_1 h_2 + \psi_2 \mathbf{c}_2 h_1}{h_1 h_2 (\psi_1 + \psi_2)} - \mathbf{f}_s \right).
\end{aligned}$$

В модельном уравнении (30) учтены не только длинноволновые вклады инерции слоев жидкости и поверхностного натяжения, слабая нелинейность возмущений и нестационарное трение на всех границах данной системы, но и установившийся поток вязкой жидкости в горизонтальном канале. Отметим, что эволюционное уравнение (30) пригодно для описания трансформации волн, распространяющихся в произвольном горизонтальном направлении (под любым углом к вектору скорости течения), а члены, содержащиеся в его правой части, отличны от нуля лишь в области начального возмущения.

**Численные решения задач о трансформации различных волн.** В работе [6] приведены результаты расчетов по эволюционному уравнению, подобному уравнению (30), выполненные с помощью неявной трехслойной конечно-разностной схемы. Эти модельные уравнения отличаются не только видом коэффициентов, но и тем, что в уравнение (30) входят члены со вторыми смешанными производными. Для того чтобы избавиться от сложных, содержащих одну производную по времени и одну производную по горизонтальной координате, перейдем в систему отсчета, движущуюся со скоростью  $u_f = u_{0i}(1 + S_f)/2$

в направлении роста координаты  $x$  и со скоростью  $v_f = v_{0i}(1 + S_f)/2$  в направлении роста координаты  $y$ . Тогда уравнение (30) можно записать в виде

$$\begin{aligned} & \frac{\partial^2 \eta}{\partial t_f^2} - c_0^2 \nabla_f^2 \eta + S_f (\mathbf{u}_{0i} \cdot \nabla_f)^2 \eta - (\mathbf{u}_f \cdot \nabla_f)^2 \eta - \frac{C_d}{R_{uv}^2} \frac{\partial^2}{\partial t_f^2} \left( \frac{\partial^2 \eta}{\partial x_f^2} + \frac{\partial^2 \eta}{\partial y_f^2} \right) - C_{Nxx} \frac{\partial^2 \eta^2}{\partial x_f^2} - \\ & - C_{Nxy} \frac{\partial^2 \eta^2}{\partial x_f \partial y_f} - C_{Nyy} \frac{\partial^2 \eta^2}{\partial y_f^2} - \int_0^{t_f} \left( C_{Bxx} \frac{\partial^2 \eta}{\partial x_f^2} + C_{Bxy} \frac{\partial^2 \eta}{\partial x_f \partial y_f} + C_{Byy} \frac{\partial^2 \eta}{\partial y_f^2} \right) \frac{dt'}{\sqrt{t_f - t'}} = \\ & = \frac{1}{\sqrt{\pi t}} \mathbf{f}_{L0} \cdot \nabla_f \eta_0 + (\mathbf{f}_{N0} \cdot \nabla_f) (\eta_0 \mathbf{u}_{0i} \cdot \nabla_f \eta). \quad (31) \end{aligned}$$

Здесь  $t_f = t$ ;  $\nabla_f = (\partial/\partial x_f, \partial/\partial y_f)$ ;  $R_{uv} = 1 - \mathbf{c} \cdot \mathbf{u}_f/c^2$ ;  $x_f = x - u_f t$ ;  $y_f = y - v_f t$ . Теперь различие между уравнением (31) и уравнением из работы [6] состоит лишь в том, что в уравнении (31) не учитывается наклон дна, а уравнение из [6] не содержит слагаемых, аналогичных членам со вторыми смешанными производными по горизонтальным координатам и последнему слагаемому в правой части данного уравнения (схемы для них на основе центральных разностей общеизвестны). На рис. 2–4 представлены результаты вычислений эволюции одиночных возмущений, выполненных с шагом по координатам  $x$  и  $y$ , равным соответственно 2 и 10 см, и с шагом по времени, равным 0,5 с.

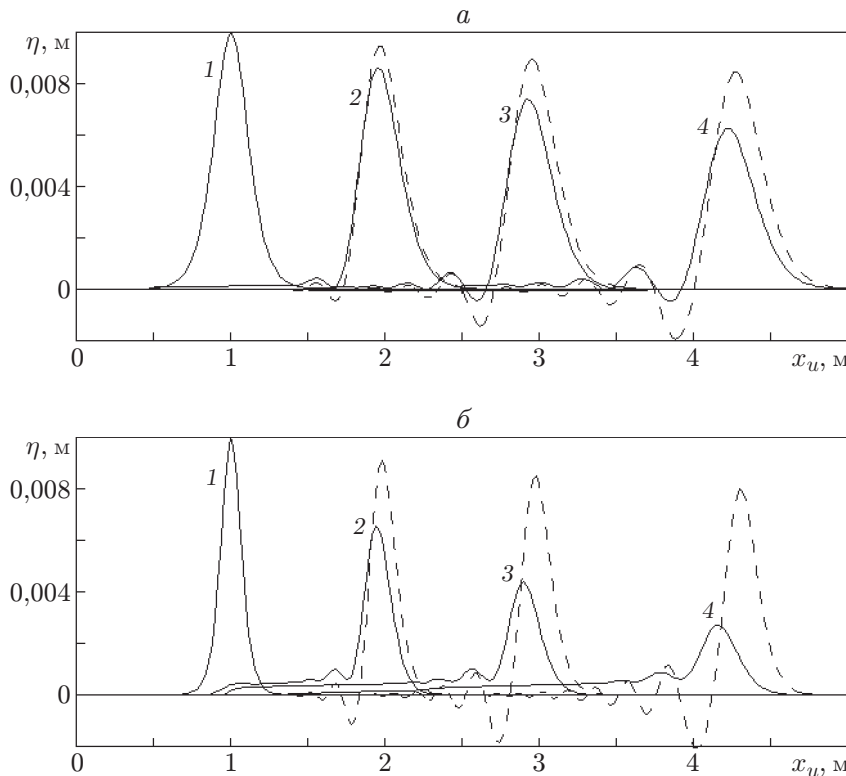


Рис. 2. Профили умеренно длинных возмущений в различные моменты времени  $t$  ( $h_1 = 5$  см,  $h_1/h_2 = 5/4$ ,  $\rho_1 = 1$  г/см<sup>3</sup>,  $\rho_1/\rho_2 = 0,98$ ,  $\nu_1 = 1$  мм<sup>2</sup>/с,  $\nu_1/\nu_2 = 0,23$ ,  $\sigma = 45$  мН/м):

$a$  —  $u_0^* = -0,5$ ;  $b$  —  $u_0^* = 0,5$ ; сплошные линии — с учетом нестационарного трения, штриховые — без учета диссипации; 1 —  $t = 0$ , 2 —  $t = 15$  с, 3 —  $t = 30$  с, 4 —  $t = 50$  с

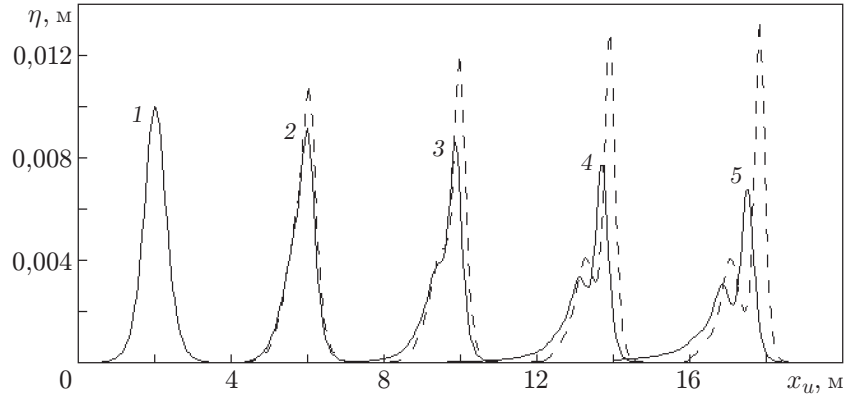


Рис. 3. Профили достаточно длинных волн в различные моменты времени  $t$  ( $h_1 = 6$  см,  $h_1/h_2 = 2$ ,  $\rho_1 = 1$  г/см<sup>3</sup>,  $\rho_1/\rho_2 = 0,98$ ,  $\nu_1 = 1$  мм<sup>2</sup>/с,  $\nu_1/\nu_2 = 0,23$ ,  $\sigma = 45$  мН/м,  $u_0^* = -0,5$ ):

сплошные линии — с учетом нестационарного трения, штриховые — без учета диссипации; 1 —  $t = 0$ , 2 —  $t = 60$  с, 3 —  $t = 120$  с, 4 —  $t = 180$  с, 5 —  $t = 240$  с

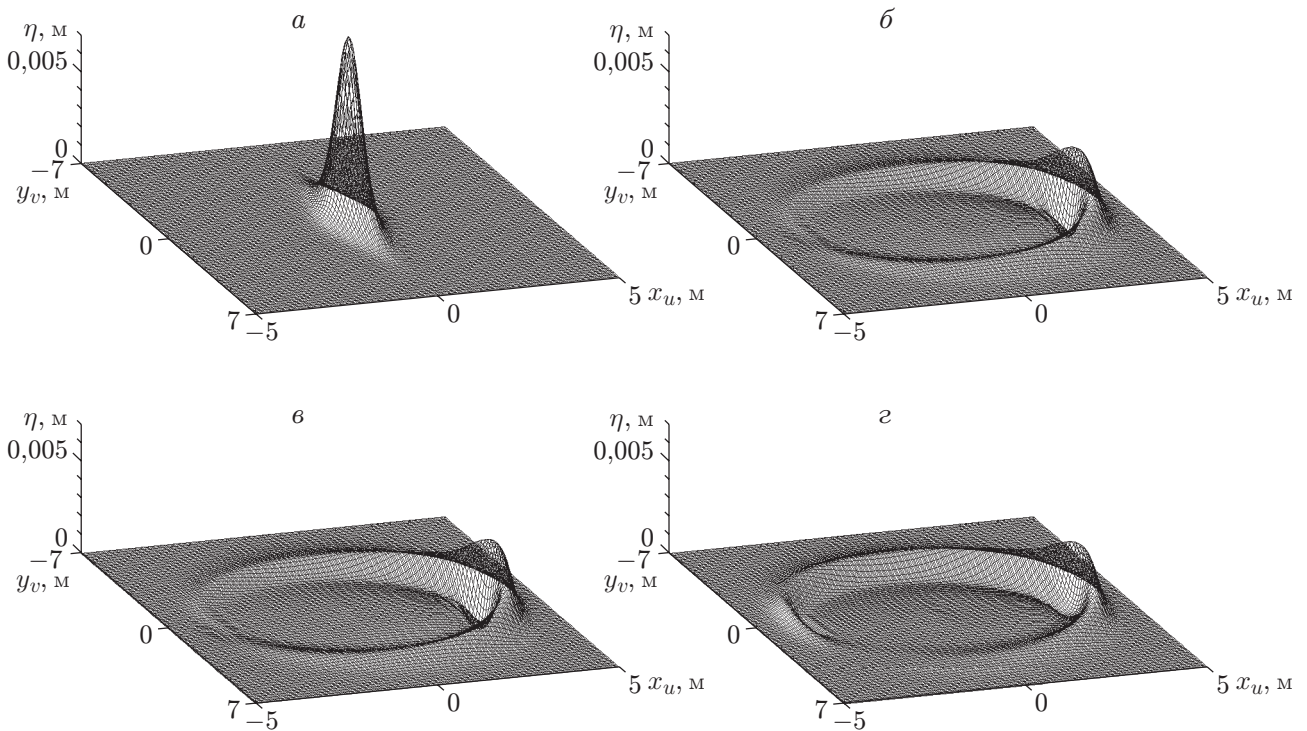


Рис. 4. Начальное трехмерное уединенное возмущение (а) и формы волн при  $t = 60$  с (б-г):

б —  $\alpha = 0$ ,  $u_0^* = -0,5$ ,  $v_0^* = 0$ ; в —  $\alpha = 0$ ,  $u_0^* = -0,5$ ,  $v_0^* = -0,5$ ; г —  $\alpha = -\pi/4$ ,  $u_0^* = -0,5$ ,  $v_0^* = -0,5$  (остальные значения параметров те же, что на рис. 2)

Сначала рассмотрим задачи, в которых исходными возмущениями (на первом и втором слоях по времени) являются плоские (не зависящие от координаты  $y$ ) уединенные волны

$$\eta = \eta_s \operatorname{sech}^2(\xi/L), \quad (32)$$

подобные солитонному (бездиссипативному) решению одномерного уравнения (29):

$$L = L_s = U \sqrt{\frac{6C_d}{\eta_a C_{Nxx}}}, \quad U = \frac{u_{0i}(1 + S_f)}{2} + \sqrt{\frac{u_{0i}^2(1 - S_f)^2}{4} + c_0^2 + \frac{2}{3} \eta_a C_{Nxx}}.$$

Здесь  $\xi = x - Ut$ . Следовательно, задание частной производной по времени в начальный момент не вызывает затруднений. Отметим, что компоненты скорости горизонтального потока  $v_{0i}$  оказывают влияние лишь в случае, когда производные по координате  $y$  не равны нулю.

Если исходные возмущения являются умеренно длинными (зависимость (32) при  $L = L_s/2$ ), то их передние фронты становятся более пологими и за ними возникают медленно затухающие осцилляции (см. рис. 2). Как и в случае отсутствия установившегося потока (см. [7]), не только уменьшается амплитуда возмущений, но и появляются диссипативные хвосты. На рис. 2 видно влияние нестационарного трения на границах, так как при  $u_0^* = -0,5$  значение главного диссипативного коэффициента  $C_{Bxx}$  приблизительно в два раза меньше, чем при  $u_0^* = 0,5$  (см. [5]). В случае больших вязких потерь колебания за основной волной почти исчезают и возмущения не меняют знак.

Если исходная волна является достаточно длинной (зависимость (32) при  $L = 2L_s$ ), то в случае отсутствия диссипации сначала возмущение трансформируется в треугольное с крутым передним и растянутым задним фронтами, а затем из него выделяется цепочка уединенных волн с уменьшающейся амплитудой (см. рис. 3). Учет нестационарных трений не позволяет расти головному возмущению и тормозит образование цепочки солитонов.

Рассмотрим эволюцию слабонелинейной волны, уединенной в пространстве. На рис. 4 приведены результаты расчетов для исходного возмущения

$$\eta = \eta_s \operatorname{sech}^2(\xi_x/L_s) \operatorname{sech}^2(0,25\xi_y/L_s),$$

где  $\xi_x = x - tU \cos \alpha$ ;  $\xi_y = y - tU \sin \alpha$ ;  $\alpha$  — угол между направлением распространения волны и осью  $Ox$ . Видно, что возмущение трансформируется в волну подковообразной формы. Наличие установившегося течения по трансверсальной координате приводит к более сильному затуханию возмущения. Изменение начального направления движения волны влияет в основном на асимметрию “дужек подковы”.

Ранее подобные возмущения наблюдались на поверхности стекающих пленок жидкости (см., например, [8–10]), однако физика процесса в указанных ситуациях существенно различается. Силой, возвращающей возмущенную горизонтальную границу в положение равновесия, является гравитация, а дисперсия обусловлена, прежде всего, инерцией слоев и поверхностным натяжением. Для волн на свободной границе пленки жидкости баланс силы тяжести и трения о вертикальную твердую стенку создает установившийся поток и определяет фазовую скорость возмущений. Кроме того, если волны на такой поверхности могут двигаться лишь вниз по течению, то возмущения горизонтальной границы раздела способны распространяться и против потока. Наконец, в случае волн на свободной поверхности вертикальной пленки жидкости подковообразные конфигурации могут быть стационарными (диссипация компенсируется накачкой), а затухание возмущений в горизонтальном канале принципиально неустранимо.

**Заключение.** Получено модельное эволюционное интегродифференциальное уравнение для умеренно длинных волн малой, но конечной амплитуды, распространяющихся

под любым углом к вектору установившегося течения. Предложенный метод может быть применен не только для слоистых течений Пуазейля, но и для других профилей потока. С учетом нестационарных напряжений трения на всех границах системы численно исследована трансформация нелинейных уединенных плоских и трехмерных возмущений. Показано влияние скорости и направления установившегося потока на амплитуду и форму волн.

Авторы выражают благодарность П. И. Гешеу и О. Ю. Цвелодубу за обсуждение ряда вопросов и полезные советы, а также А. А. Литвиненко за разработку первоначальной версии программы расчетов.

#### ЛИТЕРАТУРА

1. **Peregrine D. H.** Interactions of water waves and currents // *Adv. Appl. Mech.* 1976. V. 16. P. 9–117.
2. **Степанянц Ю. А.** Распространение волн в сдвиговых потоках / Ю. А. Степанянц, А. Л. Фабрикант. М.: Наука, 1996.
3. **Ляпидевский В. Ю.** Математические модели распространения длинных волн в неоднородной жидкости / В. Ю. Ляпидевский, В. М. Тешуков. Новосибирск: Изд-во СО РАН, 2000.
4. **Полухин Н. В., Пелиновский Е. Н., Галипова Т. Г., Муякшин С. И.** О влиянии сдвиговых течений на вертикальную структуру и кинематические параметры внутренних волн // *Океанология.* 2004. Т. 44, № 1. С. 26–33.
5. **Архипов Д. Г., Хабахпашев Г. А.** Моделирование длинных нелинейных волн на границе раздела горизонтального потока двухслойной вязкой жидкости в канале // *Изв. РАН. Механика жидкости и газа.* 2005. № 1. С. 143–158.
6. **Литвиненко А. А., Хабахпашев Г. А.** Численное моделирование нелинейных достаточно длинных двумерных волн на воде в бассейнах с пологим дном // *Вычисл. технологии.* 1999. Т. 4, № 3. С. 95–105.
7. **Хабахпашев Г. А.** Трансформация длинных нелинейных волн в двухслойной вязкой жидкости между пологими дном и крышкой // *ПМТФ.* 2005. Т. 46, № 6. С. 45–57.
8. **Петвиашвили В. И., Цвелодуб О. Ю.** Подковообразные солитоны на стекающей вязкой пленке жидкости // *Докл. АН СССР.* 1978. Т. 238, № 6. С. 1321–1323.
9. **Алексеев С. В.** Волновое течение пленок жидкости / С. В. Алексеев, В. Е. Накоряков, Б. Г. Покусаев. Новосибирск: Наука. Сиб. отд-ние, 1992.
10. **Алексеев С. В., Антипин В. А., Гузанов В. В. и др.** Стационарные уединенные трехмерные волны на вертикально стекающей пленке жидкости // *Докл. РАН.* 2005. Т. 405, № 2. С. 193–195.

*Поступила в редакцию 20/VI 2006 г.*